

## 안정도 여유와 시간응답 규격을 보장하는 PID 이득 셋 결정

김근식, 김영철  
아주자동차대학, 충북대학교

### The PID Set Simultaneously Satisfied Stability Margins and Time Response Specifications

Kim, Keunsik,  
Ajou Motor College, Kim, Youngchol  
Chungbuk National Univ.

**Abstract** - 본 논문은 선형시불변시스템(LTI) 대하여 안정도여유(이득 및 위상여유)와 시간응답 규격(오버슈트와 응답속도)을 보장하는 PID 제어기의 이득 셋을 결정하는 방식을 제시한다. 이 방법은 시스템을 안정화시키는 전체 PID 제어기의 이득 셋을 결정하는 최근의 결과를 이용한다[1]. 본 논문에서는 폐루프 특성다항식의 계수공간에서 계수와 안정도여유 및 시간응답 성능요구 조건과의 관계를 제시한다. 제시한 방법을 이용하여 안정도를 보장하고 안정도여유와 시간영역 규격을 동시에 만족하는 PID 이득 셋을 구한다. 예제를 통해 실제 설계에 매우 유용함을 보였다.

### 1. 서 론

산업현장 설계자들이 대부분 선호하고 있는 제어기는 PID, PI, PD 등 저차제어기인데, 이는 구조가 단순하면서도 성능요구조건을 만족할 수 있다는 장점이 있다. 시간영역에서의 과도응답특성(오버슈트나 정착시간)과 안정도여유(위상 및 이득여유)는 제어기 설계에서 가장 근간이 되는 규격이다. 이러한 규격을 만족하는 저차 제어기를 설계할 때 극 배치 방법 등이 주로 사용되어 있는데, 3차 이상의 고차시스템에 대하여는 정확한 해석적인 방법이 알려져 있지 않았기 때문에 주로 2차 시스템으로 근사화하여 문제를 해결하고 있다. 현대 제어기 설계의 관점은 시스템을 안정화하는 제어기 이득 셋을 먼저 결정한 후, 이 셋 내에서 규격을 만족하는 제어기 이득을 선택한다. 이러한 관점에서 최근에 Datta[1]는 Hermite-Biehler정리를 일반화하여 폐루프시스템을 안정화하는 전체 PI, PID이득 셋을 구하는 방법을 제시하였다. 또한 우리는 이 정리를 PD제어기 이득 셋을 구하는 알고리즘으로 확장하였다[2,3]. Xu[4]는 시간지연요소를 갖는 시스템에 대하여 안정한 PID 이득 셋으로부터 폐루프시스템을 안정하게하는 전체 PID이득 셋을 구하는 방법을 제시하였다.

최근, Kim[5]등은 소위 특성비지정법(characteristic ratio assignment)을 제시하여 폐루프시스템의 목표특성다항식을 구하는 해를 발표했다. 이를 근거로 우리는 특성비지정법을 확장하여 시간응답 규격을 만족하는 PI, PD, PID 이득 셋을 구였다[6,7].

본 논문에서는 시간지연요소를 포함하는 LIT플랜트에 대하여 안정도여유와 시간영역 규격을 동시에 만족하는 PID제어기의 이득 셋을 구하는 알고리즘을 제시한다. 최종 결과는 제어기 계수 중 고정한  $k_p$ 에 대하여 2차원 계수 공간에서 그래프으로 표현된다. 적용 예를 통하여 제시된 방식의 유용성을 보인다.

### 2. 계수공간에서 시간응답과 안정도여유해석

#### 2.1 시간응답

양의 실수 계수를 갖는 다음과 같은 특성다항식을 고

려하자.

$$\delta(s) = a_n s^n + a_{n-1} s^{n-1} + \cdots + a_1 s + a_0, \quad (a_i > 0) \quad (1)$$

특성다항식에 대한 계수의 특성비  $\alpha_i$ 와 일반화시정수 (generalized time constant)  $\tau$ 는 식(2)와 식(3)과 같이 각각 정의한다.

$$\alpha_1 := \frac{a_1^2}{a_0 a_2}, \quad \alpha_2 := \frac{a_2^2}{a_1 a_3}, \quad \cdots, \quad \alpha_{n-1} := \frac{a_{n-1}^2}{a_{n-2} a_n} \quad (2)$$

$$\tau := \frac{\alpha_1}{a_0} \quad (3)$$

특성다항식  $\delta(s)$ 의 모든 계수를  $\alpha_i$  와  $\tau$ 로 다음과 같이 표현할 수 있다.

$$a_1 = a_0 \tau \quad (4)$$

$$a_i = \frac{a_0 \tau^i}{\alpha_{i-1} \alpha_{i-2} \alpha_{i-3} \cdots \alpha_2^{i-2} \alpha_1^{i-1}}, \quad i = 0, 1, \dots, n \quad (5)$$

이 때 식(4)과 식(5)를 이용하면  $a_i$ ,  $\tau$ ,  $a_0$ 에 의해 특성다항식  $\delta(s)$ 를 역으로 표현할 수 있다. 지금까지 1차 시스템이 아니면 시정수의 정의는 명확하지 않았다. 최근에 Kim 등[5]은 특성비지정법을 제시하고 특성다항식 계수와 시간응답과의 관계를 제시하였다. 또한 위에서 정의한  $\tau$ 가 정확하게 시스템의 응답속도에 관계함을 해석적으로 보였다. 이 결과에 따르면 동일한 특성비를 갖는 같은 차수의 시스템은 시간응답의 모양을 변화시키지 않고  $\tau$ 에 의해 응답속도를 임의로 조정할 수 있다. 이러한 결과를 PID등 저차제어기에 적용하기 위하여 우리는 특성비의 감도해석을 통해 스텝응답의 오버슈트가 없거나 매우 미미한 과도응답성능을 내는 목표시스템의 셋 다음 부등식 조건을 만족함을 보였다[7].

$$\alpha_1 \geq \alpha_1^*, \quad \alpha_2 \geq \alpha_2^*, \quad \alpha_3 \geq \alpha_3^*, \quad \tau^- \leq \tau \leq \tau^+. \quad (6)$$

따라서 식(6)의 조건은 시간응답규격을 만족하는 PID이득 셋을 결정하는데 이용된다[6,8].

#### 2.2 안정도여유

시간지연요소를 갖는 임의 차수를 갖는 LTI 플랜트  $P(s) = N(s)/D(s)e^{-T_{d,s}}$ 에 대하여 안정도여유 규격을 만족하는 PID제어기  $C(s) = (k_i + k_p s + k_d s^2)/s$ 의 이득 셋을 구하는 문제를 고려한다.

이 문제에 관해 특성다항식의 주파수응답을 이용하는 방법이 제시되었다[9]. 이 방법은 3가지의 2-D평면의 셋에 대한 교집합을 이용하여 문제를 해결하고자 하였다. 즉, 각각의  $(k_p, k_i)$ 평면,  $(k_p, k_d)$ 평면 그리고  $(k_i, k_d)$ 평면의 교집합을 얻는 방법인데,  $(k_p, k_i)$ 평면과  $(k_p, k_d)$ 평면

의 안정도 경계영역은 블록하지 않는 임의의 곡선 형태의 폐곡면으로 형성되기 때문에 매우 복잡한 프로그래밍이 요구되므로 산업현장에서 적용하기가 곤란하다.

본 논문에서는 [1,4]의 결과인 LTI플랜트를 안정하게 하는 PID제어기 이득 셋으로부터 출발한다. 이때의 PID 이득 셋을  $A_s$ 라고 표기하기로 한다. 제시되는 방법은 Nyquist선도를 이용하여 시스템을 안정화하는 PID 이득 셋 내에서 안정도여유를 만족하지 않는 제어기 이득 셋을 그림 1과 같이 고정한  $k_p^*$ 에 대하여  $(k_i, k_d)$ 평면으로부터 추출하는 방법이다.

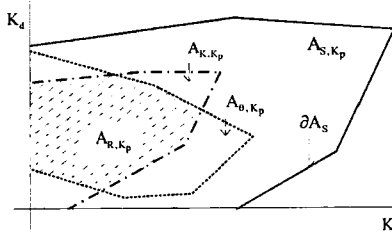


그림 1. 안정도여유를 만족하는 PID 이득 셋

안정한 영역만을 고려한다면, Nyquist선도에서 플랜트의 우반면에 존재하는 극점의 수에 따라  $-1+j0$ 을 반시계방향으로 감싸는 회전수를 고려할 필요가 없이 이득 및 위상여유를 구할 수 있다. 이는 Nyquist선도에서  $-1+j0$ 을 지나는 PID 제어기 이득은 안정한 영역의 경계선이기 때문이다. 그리고 셋 내부는 모두 안정도를 보장하면서 안정도여유를 가지고 있다. 따라서 안정한 PID 제어기 이득 셋 영역의 경계선으로부터 경계내부로, 주어진 안정도여유 규격을 만족하지 않는 PID제어기 이득 영역을 제거하면 주어진 규격을 만족하는 해를 얻을 수 있다. 개루프전달함수를 다음과 같이 표현하자.

$$G_0(s) = C(s)P(s) = (k_i + k_p s + k_d s^2) \cdot G_s(s) \quad (7)$$

$$\text{여기서 } G_s(s) = \frac{N(s)}{sD(s)} e^{-T_d s}.$$

이득여유  $K$ 를 고려하기 위하여 플랜트  $P(s)$ 를  $KP(s)$ 로 대체한다. 이 때 이득여유는 플랜트의 극점의 위치에 따라 상부위상여유  $[1, K^+]$ 는 물론 하부위상여유  $[K^-, 1]$ 의 값을 갖는다. 같은 방법으로 위상여유  $\theta$ 를 고려하기 위하여 플랜트를  $P(s)^{-j\theta}$ 로 대체한다. 위상여유는 플랜트의 영점의 위치에 따라 상부위상여유  $[0, \theta^+]$ 뿐만 아니라 하부위상여유  $[\theta^-, 0]$ 의 값을 가진다. 안정한 경계선  $\partial A_s$ 의 임의의 값은 Nyquist 선도에서  $(-1, j0)$  값을 갖기 때문에 다음 식을 만족한다.

$$\arg[(k_i - k_d \omega^2 + j k_p \omega) G_s(j\omega)] = \pi \quad (8)$$

$$|(k_i - k_d \omega^2 + j k_p \omega) G_s(j\omega)| = 1. \quad (9)$$

주파수  $\omega \in \Omega$  구간에서, 식(8)을 만족하기 위한  $k_i - k_d \omega^2$ 는 다음과 같다

$$k_i - k_d \omega^2 = -\frac{k_p \omega}{\tan \{\arg [G_s(j\omega)]\}}, \quad (10)$$

이 때

- (a)  $0 < \arg [G_s(j\omega)] < \pi \quad \text{if } k_p > 0.$
- (b)  $\arg [G_s(j\omega)] = 0 \text{ or } \pi \quad \text{if } k_p = 0.$
- (c)  $\pi < \arg [G_s(j\omega)] < 2\pi \quad \text{if } k_p < 0.$

여기서 증명은 [10]을 참고한다.

식(10)을 식(11)과 같이 재 정의한다.

$$M(\omega) := -\frac{k_p^* \omega}{\tan \{\arg [G_s(j\omega)]\}} = (k_i - k_d \omega^2) \quad (11)$$

이득여유  $K$ 를 고려할 때,  $|KG_0(s)| = 1$ 을 만족하는 이득  $K$ 는 식(9)로부터 다음과 같이 얻을 수 있다.

$$K(\omega) := \frac{1}{\sqrt{M(\omega)^2 + (k_p^* \omega)^2} \cdot |G_s(j\omega)|} \quad (12)$$

$\omega \in [0, \infty]$ 에 대하여  $K(\omega)$ 를 도시한 후 주어진 이득여유 규격  $[1, K^+]$  또는  $[K^-, 1]$ 를 만족하는 주파수 구간을 구하고 식(11)에 대입하면 고정한  $k_p^*$ 에 대하여 이득여유를 만족하지 않는 영역  $A_{K,k_p}^C$ 를 얻게 된다.

한편 위상여유를 만족하지 않은 영역  $A_{\theta,k_p}^C$ 은 Xu[4]가 제시한 시간지연요소를 갖는 플랜트를 안정하게 하는 PID이득 셋을 구하는 방법과 같은 방식으로 구한다. 고정한  $k_p^*$ 에 대하여 식(9)은 다음과 같다.

$$k_i - k_d \omega^2 = \pm \sqrt{\Pi(\omega)} \quad (13)$$

$$\text{여기서 } \Pi(\omega) := \frac{1}{|G_s(j\omega)|^2} - (k_p^* \omega)^2.$$

$\Pi(\omega)$ 를  $\omega \in [0, \infty]$ 에 대하여 도시한 후 주어진 위상여유 규격으로부터  $[\theta^-, 0]$  혹은  $[0, \theta^+]$ 를 만족하는 주파수를 찾으면 식(13)으로부터  $A_{\theta,k_p}^C$ 를 구할 수 있다.

**Remark :** PI와 PD제어기는 PID제어기에서  $k_i = 0$  혹은  $k_d = 0$ 인 경우이므로 본 논문에서 제시한 방법을 사용하면 쉽게 이득 및 위상여유를 만족하는 PID 이득 셋을 얻을 수 있다.

### 3. 적용예

본 장에서는 폐루프시스템을 안정화하는 PID이득 셋으로부터, 주어진 안정도여유와 시간응답 규격을 동시에 만족하는 PID제어기 이득 셋을 구하는 설계단계를 예제를 통해 제시한다.

**Example :** 시간지연 요소를 가지면서 플랜트가 불안정한 경우를 고려하자.

$$P(s) = \frac{s+1}{s^4 + 8s^3 + 48s^2 + 46s - 1} e^{-0.5s}$$

#### 설계목표 :

- o 이득여유  $G_m = (-3, 6)$  [dB], 위상여유  $PM = 45^\circ$ ,
- o 스텝응답의 오버슈트 1%, 정착시간 10초 이내

[단계 1] [1,4]의 알고리즘을 이용하여 시스템을 안정화하는 PID이득 셋 영역을 구한다(그림2).

[단계 2] [단계 1]에서 얻은 전체 PID이득 셋 내에서  $k_p$ 를 고정하고 식(10)~(13)을 이용하여 안정도여유를 만족하는 PID이득 셋을 얻는다. 그림 3은 한 예로  $k_p = 37.31$ 일 때 이득 및 위상여유를 보여준다.

[단계 3] 같은 방법으로 모든  $k_p$ 에 대하여 안정도여유를 만족하는 PID이득 셋을 구한다(그림 4).

[단계 4] 안정도를 보장하면서 안정도여유를 만족하는 PID 셋으로부터 특성비지정법[5-8]을 이용하여 고정한  $k_p$ 에 대하여 시간영역 설계규격을 만족하는 PID 이득 셋을 구한다. 그림 5는 안정도를 보장하면서 안정도여유와 시간응답 규격을 만족하는 PID이득 셋이다. 그

그림 6은 그림 5의 PID이득 셋 내에서 임의의 한 값인 ( $k_p = 48.2$ ,  $k_i = 15$ ,  $k_d = 10$ )의 스텝응답과 Nyquist선도를 나타낸 것이다.

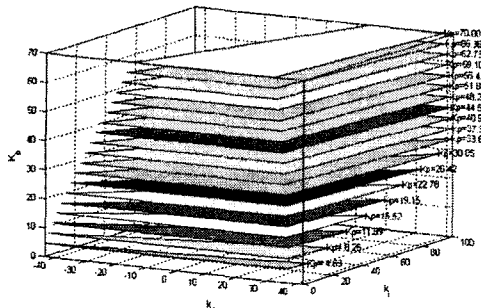


그림 2. 시스템을 안정화하는 전체 PID 이득 셋

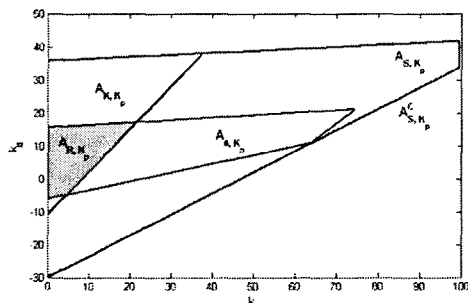


그림 3.  $k_p = 37.31$  일 때 안정도 여유를 만족하는  $(k_i, k_d)$  셋

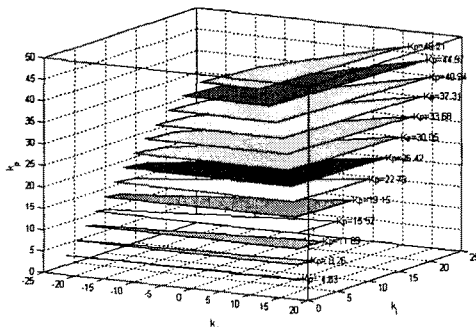


그림 4. 안정도여유를 보장하는 전체 PID이득 셋

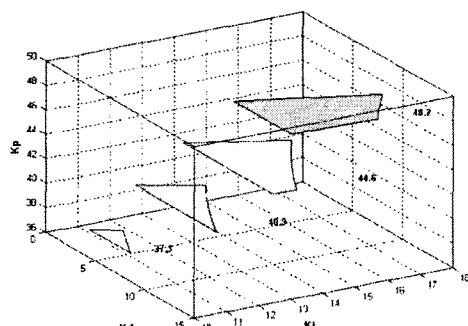


그림 5. 안정도여유와 시간응답 규격을 만족하는 전체 PID이득 셋

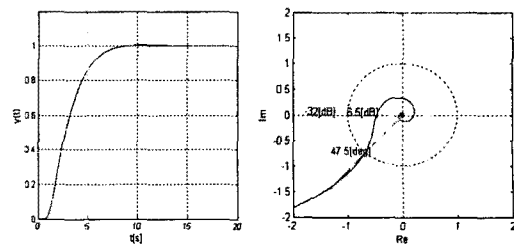


그림 6. ( $k_p = 48.2$ ,  $k_i = 15$ ,  $k_d = 10$ )에서 스텝응답과 Nyquist선도

#### 4. 결 론

제어기 설계의 관점에서 현대적 접근방식은 시스템을 안정화하는 제어기의 셋을 구한 후 이 셋 속에서 성능조건을 만족하는 최적 해를 구한다. 본 논문은 산업현장의 제어기 설계자가 선호하는 PID제어기에 대하여 현대제어기 설계 관점에서 안정도를 보장하면서 안정도 여유와 시간응답 규격을 만족하는 전체 PID 이득 셋을 구하는 기법을 제시하였다. 이 결과는 실제 제어기 설계에 있어서 매우 유용하게 적용될 수 있다.

#### 감사의 글

본 연구는 한국과학재단 특정기초연구(과제번호 : R01-2003 000-11738-0) 지원으로 이루어진 연구임.

#### [참 고 문 헌]

- [1] A. Datta, M. T. Ho, and S. P. Bhattacharyya, *Structure and Synthesis of PID Controllers*, London, U. K. : Springer-Verlag, 2000.
- [2] 김근식, 김영철, "연속선형계의 PD안정화기의 전체 이득 셋 결정," 정보 및 제어심포지엄, pp. 10-12, 2004
- [3] 김근식, 인종수, 고흥호, "연속선형계를 안정화하는 전체 PD 이득셋 결정," 한국천문대학교육연구학회, 제5권 4호, pp.551-557, 2004
- [4] H. Xu, A. Datta and S. P. Bhattacharyya, "PID Stabilizing of LIT Plants with Time-Delay," *IEEE Conference of Decision Control*, Maui, Hawaii, USA, Dec. 2003
- [5] Y. C. Kim, L. H. Keel, and S. P. Bhattacharyya, "Transient Response Control via Characteristic Ratio Assignment", *IEEE Trans. on Automatic Control*, Vol AC-48, No. 12 pp. 2238-2244, Dec. 2003
- [6] K. S. Kim, Y.C. Kim, L.H. Keel, and S.P. Bhattacharyya, "PID controller design with time response specifications," *Proc. of American Control Conference*, pp.5005-5010, Denver USA, June, 2003
- [7] Youngchol Kim, Keunsik Kim, and Shunji manabea, "Sensitivity of The Time Response to Characteristic Ratios," *Proc. of American Control Conference*, Boston, USA, June, 2004.
- [8] 김근식, 조태신, 김영철, "시간응답 설계규격을 만족하는 PI, PID제어기 설계," 제어·자동화·시스템공학회지 제9권 4호, pp.259-268, 2003.
- [9] Tan.N, Kayal.I, Atherton. D.P, "Computation of stabilizing PI and PID controllers," Proceedings of 2003 IEEE Conference, Vol.1 ,23-25, pp.876-881, 2003
- [10], K.S.Kim, Y.C.Kim, "The Complete Set of PID Controllers with Gain/Phase Margin," to be published in IEEE Conference on Decision and Control, Dec. 2005.